

# تحلیل خستگی خوردگی آمالگامهای پر مس

جمشید آقازاده

اعظم بیگی خردمند

دانشیار دانشکده مهندسی معدن و متالورژی

فارغ التحصیل کارشناسی ارشد

دانشگاه صنعتی امیرکبیر

## چکیده

آمالگام دندانی به مقیاس وسیعی در دندانپزشکی کاربرد دارد. این آلیاژ با ترکیبات شیمیایی متنوع و اشکال گروی و تراشه ای و مخلوط بکار برده می شود. اما مطلوبترین خواص فیزیکی و شیمیایی، از آلیاژهای حاوی درصد مس زیاد با رسوب پراکنده و فاقد روی و با مورفولوژی کروی حاصل میگردد که علت آن عدم وجود فاز ضعیف ۲ می تواند باشد. در این تحقیق مقاومت خستگی خوردگی سه نوع آمالگام Cinaalloy و Cinalux و Solilanova مورد بررسی و مقایسه قرار گرفته است. مورفولوژی Cinaalloy و Solilanova تراشه ای بوده و مورفولوژی Cinalux کروی میباشد.

برای آزمایش خستگی خوردگی از دستگاه سرو هیدرولیک استفاده گردید. خستگی آمالگامها در محیطهای هوا، سرم فیزیولوژی و سرکه در دو و فرکانس ۱۰ و ۲۰ هرتز تحت شرایط فشاری - فشاری آزمایش گردید. نتایج آزمایشها نشان داد که استحکام خستگی آمالگام با مورفولوژی کروی از دو آمالگام دیگر بیشتر است و استحکام خستگی Solilanova بیش از Cinaalloy میباشد. همچنین استحکام خستگی هر سه نوع آمالگام با افزایش فرکانس افزایش یافت. آزمایش خستگی در محیط سرم فیزیولوژی نشان داد که در هر سه نوع آمالگام، مقاومت خستگی نسبت به هوا کاهش می یابد. ولی رفتار خستگی آمالگام ها در محیط سرکه نسبت به سرم متفاوت بود، بطوریکه مقاومت خستگی آمالگامها در سرکه، نزدیک و یا کمی از مقاومت آن در هوا بالاتر است. به منظور تفسیر این رفتار، مقاومت خستگی در محیطی باشد اسیدی نظریه ایجاد است. نتایج نشان داد که مقاومت خستگی در این محیط نیز نسبت به هوا بالاتر است. همچنین مقاومت خستگی پرکردگی دندان در محیطهای هوا، سرم و سرکه به کمک روش المانهای محدود شبیه سازی شد. نتایج این تحلیل تنشی نشان داد که سهم خستگی آمالگام در شکست آن کم بوده و عوامل کلینیکی نظریه روش انجام و پولیش نهایی آمالگام بر عمر خستگی پرکردگی مؤثر نزدیک نداشت.

## کلمات کلیدی

آمالگام - خستگی - گروی - تراشه ای - خوردگی

## Analysis of Corrosion Fatigue Behaviour of Hight Copper Amalgams

A.B.Kheradmand

J.Aghazadeh Mohandes

M.S Graduate

Associate Professor

In Materials Engineering

In Materials Engineeri

Department of Mining & Metallurgical Engineering  
Amir Kabir University of Technology

## ABSTRACT

Dental amalgam has been used extensively in dentistry. This alloy is produced in several varieties of chemical compositions & morphologies such as lath cut and spherical; however the best mechanical and clinical properties are shown by high copper non zinc content amalgams with disperse particles having spherical morphology. This is due to the absence of  $\gamma_2$  weak phase. In this investigation fatigue behavior of three amalgams, Solilanova, Cinalux, Cinalloy have been examined. Morphology of the Cinalloy and Solilanova powders were lath cut and for that of Cinalux was spherical. Servohydraulic machine was used for fatigue testing amalgams in air, physiology serum and a solution of acetic acid environment under two frequencies of 10&20Hz. Fatigue strength of amalgam with spherical morphology was higher and also the fatigue strength of Solilanova was more than Cinalloy. By increasing the frequency fatigue strength was increased. The lowest fatigue strength was observed in physiology serum. The high fatigue strength observed in acetic acid solution seems to be related to the polishing effect of the solution on amalgam surface (ie.removing microcracks). Finally the fatigue life of two types of fillings were simulated using Basquin constant of the amalgam. The results showed that the fracture of amalgam as the result of fatigue is not likely to happen at the filling, rather clinical procedure seems to have major effect on filling life.

## Key word

Amalgam,fatigue,spherical,lath cut,corrosion

## - مقدمه -

آمالگام به معنی ملقمه و ملقمه دندانی آلیاژی از جیوه همراه با نقره ، قلع ، مس به میزان ۹۴٪ و عناصر دیگری نظیر روی است. مخلوط بست آمده از فلزات فوق بنام آلیاژدندانی شناخته میشود. این ترکیب دارای رفتار پلاستیک میباشد و این امکان را فراهم می آورد که بخوبی در حفره آماده شده دندان قرار گرفته و با فشار جاگذاری شود. آمالگام به ساختار دندان چسبندگی نداشته و باید برای ابقاء به این حفره تکیه داشته باشد [۱]. بنابر مدارک موجود ، در سال ۱۸۲۶ در فرانسه ، این ملقمه برای اولین بار به شکل خمیرنقره - جیوه بمنظور ترمیم بافت دندانی مورد استفاده قرار گرفت [۲و۳]. در این زمینه افراد مختلفی کار کردن ، بویژه دونفر بنامهای Flag و Townsend همکاری قابل توجهی در اصلاح این ماده داشتند [۴] و Ryge Gray و Youdelis Innes [۵-۱۱]. پس از آن آلیاژ اصلاح شده ای با ترکیب جدید و با استحکام بالا تولید کردند [۱۲].

از نظر ترکیب شیمایی آمالگامها به دو دسته آلیاژهای حاوی مس زیاد و حاوی مس کم تقسیم میشوند. مرز ترکیبی بین این دو دسته در مراجع مختلف متفاوت است [۱۵و۱۴و۱۳]. بطور کلی آلیاژ آمالگام از نظر مورفولوژی و شکل ذرات در دو نوع تراشه ای یا براده ای و کروی تولید میشود [۱۸و۱۷و۱۶]. فازهای مهم موجود در آمالگام عبارتند از :  $\text{Ag}_{22}\text{SnHg}_{27}$ ،  $\text{[}\gamma\text{]Ag}_3\text{Sn}$ ،  $\text{[}\gamma\text{]Cu}_6\text{Sn}_5$ ،  $\text{[}\gamma\text{]Cu}_3\text{Sn}$ ،  $\text{[}\gamma\text{]Sn}_8\text{Hg}$ ،  $\text{[}\gamma\text{]Sn}_8\text{Hg}$  در زمینه (فاز ۲۱) پراکنده است [۱۹].

ملقمه دندانی به دلیل برخی از خواص ویژه مانند تغییرات ابعادی ، مقاومت در برابر نیروهای فشاری و تمایل به خروش و سیلان تحت نیروهای فشاری بی نظیر است ولی در برابر اعمال تنش کششی یا فشاری ضربه ای ترد عمل کرده و میشکند. شکست آمالگام به دلایل متفاوتی نظیر خروش ، ضعف مارجین ، خوردگی و خستگی اتفاق میافتد بررسی رفتار خستگی آمالگام اولین بار توسط Wilkinson و Haack انجام شد [۲۰]. پس از آن در سالهای ۱۹۸۵ و ۱۹۸۹ Cahoon و Williams اثر خستگی را بر شکست مارجینال آمالگام بررسی نمودند [۲۱]. شکست ناشی از خستگی در ترمیم آمالگام در دو قسمت اتفاق میافتد: شکست در رزین چسبنده در فصل مشترک دندان - ترمیم و شکست در ملقمه [۲۲و۲۳]. نتایج بررسی استحکام

خستگی آمالگام ها نشان داده است که متوسط استحکام خستگی با استحکام فشاری اولیه رابطه دارد بطوریکه در  $10^4$  و  $10^5$  سیکل به ترتیب مقاومت خستگی به ۶۶٪ و ۵۸٪ مقاومت فشاری می رسد. [۲۴]

در مورد خستگی آمالگام در محیط خورنده به نظر نمیرسد که تحلیل مدونی صورت گرفته باشد، اما به عقیده محققین فرایند کلی خستگی خوردگی فلزات در مراحل جوانه زنی و رشد ترک خستگی، بستگی مستقیم به شدت تنفس، فرکانس بارگذاری، نسبت تنفس، اکتیویته شیمیایی محیط و تولید محصولات خوردگی دارد [۲۵]. برای بررسی رفتار خستگی خوردگی از روش‌های متفاوتی نظیر زمان دادن [۲۶]، اندازه‌گیریهای پلاریزاسیون با پتانسیو استات بر پایه الکتروود تنفس دار [۲۷] و همزمان کردن رفتار مکانیکی و الکتروشیمیایی [۲۸] استفاده می‌شود. در این تحقیق نیز آمالگامها به طور همزمان تحت اعمال تنفس در محیط خورنده قرار گرفته‌اند.

## ۴- مواد و روشهای

در این تحقیق از سه نوع آمالگام پر مس استفاده شده است. به علت پرمس بودن این آمالگامها فقد فاز ضعیف ۶۲ میباشد [۲۹]. ترکیب شیمیایی سه نوع آمالگام که با استفاده از شیمی تربید است آمده، در جدول (۱) داده شده است. آمالگامهای Cinalux و Cinalloy ساخت شرکت تهیه مواد اولیه دندانی شهید فقیهی (سینا) و آمالگام Solilanova ساخت کشور انگلستان میباشد. ترکیب مواد اولیه برای آمالگام Cinalux و Cinalloy یکسان است. ولی فرایند تولید آنها متفاوت میباشد. لذا در ترکیب شیمیایی آنها اندکی تفاوت وجود دارد. بطوریکه ذرات پودر آمالگام Cinalloy حاصل از فرایند ذوب و ریخته‌گری و تراشکاری بوده و آمالگام Cinalux طی فرایند اتمایزینگ گازی بصورت ذرات کروی تولید می‌شود. مورفولوژی ذرات پودر نیز تراشهای میباشد. کلیه نمونه‌های آزمایشی طبق استاندارد ملی ایران به شماره ۲۷۲۴ ساخته شدند، بطوریکه نمونه‌ها به روش تمام مکانیکی بصورت استوانه هایی به قطر mm ۴ و ارتفاع mm ۸ تهیه شدند .. نمونه‌های مربوط به آزمایشهای مکانیکی پس از تهیه به محیطی با دمای  $37 \pm 10^\circ\text{C}$  منقل گردیدند. مشخصات مربوط به تولید نمونه‌ها در جدول ۲ آمده است. آزمایش فشار یکسانه از پایان ملقطه سازی انجام شد. سرعت تغییر مکان mm/min ۰/۲۵ بود. نمونه‌ها با توجه به استاندارد ADA به طور یکسان آزمایش شدند.

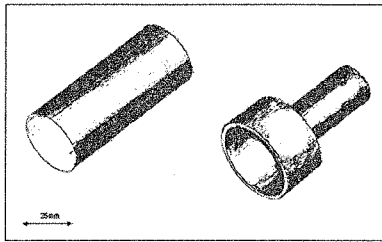
جدول(۱): ترکیب شیمیایی آمالگامها با استفاده از آنالیز شیمی تر

ترکیب شیمیایی				نام آمالگام
Zn	Cu	Sn	Ag	
•	۲۲/۷	۲۶	۴۷/۵	Solilanova
•	۲۶/۳۶	۲۵/۹۲	۴۳/۱۱	Cinalloy
•	۲۸/۸۴	۲۵/۹۶	۴۴/۲۹	Cinalux

جدول(۲): مشخصات لازم برای تهیه نمونه‌های آزمایش

نام آمالگام	فشار کننده	زمان خودگیری	زمان مخلوط کردن	نسبت جیوه به آبیار
Solilanova	۱۴Mpa	۴Min	۸S	۱/۱.۲
Cinalloy	۱۴Mpa	۶Min	۸-۱۰S	۱/۱.۰۵
Cinalux	۱۴Mpa	۴Min	۸-۱۰S	۱/۱.۰۸

تمام نمونه های آزمایش خستگی قبل از انجام آزمایش به مدت یک هفته د ردمای ۳۷°C پیر شدند. از آنجا که بنظر نمیرسد در آزمایش خستگی خوردگی آمالگام استاندارد خاصی ارائه شده باشد، لذا برای انجام آزمایش محفظه ای برای نگهداری نمونه و محلول خورنده و سنبه ای جهت اعمال فشار طراحی گردید. سنبه و قالب از فولاد زنگ نزن ساخته شدند و سطح افقی آن ها نسبت به محور اصلی خود کاملاً عمود تراشیده شدند، به این ترتیب خطای ناشی از آزمایش به حداقل رسید (شکل ۱). برای نگهداری نمونه در قالب و جلوگیری از هرگونه اعمال تنش خارجی به نمونه از یک واشر لاستیکی به قطر mm ۳۰ دارای سوراخی به قطر mm ۴ در مرکز آن استفاده گردید. با توجه به مقادیر استحکام فشاری هر سه نوع آمالگام روند آزمایش خستگی طراحی شد. بطوریکه اولین تنش اعمالی برابر ۷۵UTS / ۰٪ در نظر گرفته شد. کلیه آزمایشهای خستگی بر روی سه نوع آمالگام درسه محیط هوا، سرم فیزیولوژی [آب مقطر + ۰/۹٪ نمک ] و سرکه ، توسط دستگاه سروهیدرولیک Instron وبصورت فشاری- فشاری و در دو فرکانس ۲۰ و ۱۰ هرتز با مقدار R ثابت (R =  $\sigma_{\text{Max}} / \sigma_{\text{Min}}$ ) در طول آزمایش انجام شد. در کلیه آزمایشهای مقدار تنش حداکثر ۱ Mpa در نظر گرفته شد.



شکل(۱): شماتیک طرح سنبه و قالب

به منظور تحلیل تنشی ترمیمهای آمالگام در پرکردهای کلاس I و II double Box در حالت های استاتیک از نرم افزار NISA استفاده گردید. ابتدا مدل سازی از دندان کرسی عقب (پرملار) انجام شد و ترمیمهای کلاس های فوق در آن ایجاد گردید. سپس با استفاده از متحنی های تغییر مکان - نیرو، تنش تسليم و مدول یانگ آمالگامها بدست آمد. برای تحلیل خستگی ترمیمهای ایجاد شده در دندان پرملار، ثوابت خستگی با استفاده از نتایج آزمایشگاهی بدست آمدند. به این منظور متحنی S-N حاصل از آزمایش بر حسب Log-Log رسم شد. بنابراین به عنوان اولین تقریب و با صرف نظر از بخش پلاستیک رابطه عمر خستگی ، دامنه تنش [ $\sigma_a = \Delta \sigma / 2$ ] بر حسب تعداد سیکل تا شکست یا تعداد معکوس شدن های نیرو به صورت رابطه با سکوئین در نظر گرفته شد. [۳۰]

$$\Delta \sigma / 2 = \sigma_a [2N_f]^{1/b}$$

که  $\sigma_a$  استحکام خستگی بوده و بوسیله اکستراپوله کردن منحنی  $\log S - \log N$  به نیم سیکل اول خستگی یا  $[2N_f = 1]$  بدست آمد و  $N_f$  توان استحکام خستگی یا ثابت با سکوئین که برابر شب منحنی می باشد. از این دو پارامتر بعنوان خصوصیات ماده جهت شبیه سازی عمر خستگی پرکرده گی دندان به کمک نرم افزار NISA استفاده شد. با تقریب بسیار خوب  $5^{\circ}$  را میتوان معادل با  $5^{\circ}$  یعنی استحکام کششی حقیقی در نظر گرفت

### ۳- بحث و نتیجه گیری

#### ۱-۳ مقاومت فشاری آمالگامها

نتایج آزمایش فشار بر روی نمونه های آمالگام [جدول ۳] نشان میدهد که استحکام فشاری Cinalux نسبت به دو آمالگام دیگر بیشتر است . دلیل این موضوع را می توان به مورفولوژی ذرات پودر نسبت داد. آمالگام Cinalux به دلیل مورفولوژی کروی ، در هنگام ملجم سازی مقدار جیوه کمتری نسبت به آمالگام تراشه ای مصرف میکند، بنابراین استحکام نهایی آن باید افزایش یابد [۳۱ و ۳۲ و ۳۳]. از طرف دیگر کاهش مصرف جیوه در این نوع آمالگام سبب کاهش درصد فاز زمینه ۶۱ و

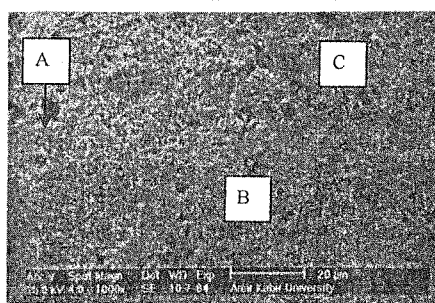
کاهش انبساط و تغییرات ابعادی آن نسبت به آمالگام تراشه ای میشود. همچنین این جدول نشان میدهد که استحکام فشاری آمالگامها در طی ۲۴ ساعت اول بعد از خودگیری بشدت افزایش می یابد و این بدلیل کنترل فرایند ملقمه سازی توسط مکانیزم نفوذ می باشد.

جدول(۳): نتایج آزمایش فشار ۱ و ۲۴ ساعته آمالگامها

استحکام فشاری (Mpa)		نام آمالگام
۲۴ ساعته	یک ساعته	
۴۴۰	۱۶۰	Solilanova
۴۰۰	۱۴۰	Cinaalloy
۴۶۰	۲۳۰	Cinalux

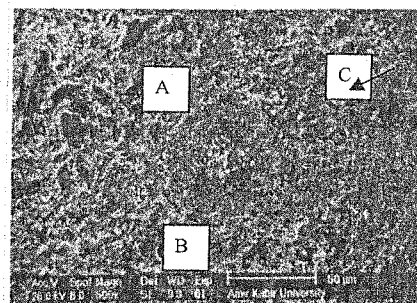
### ۳-۲-۳ مکانیسم ملقمه سازی و ریزساختار آمالگامها

مهتمرين فاز در آلیاز اصلی آمالگام فاز  $\gamma$  با فرمول  $Ag_3Sn$  میباشد [ ۷ و ۸ ]. نمودارهای آنالیز فازی وجود این فاز را نشان داده اند. همانگونه که تصاویر ریزساختاری نشان میدهد ، فاز  $\gamma$  در آلیاز Cinalux کروی و بزرگ می باشد و در آمالگامهای با Mayashi و Fusuyama [ ۳۴ ] نیز چنین نتایجی را در آمالگامهای با Cinaalloy و Solilanova کوچکتر و نامنظم است . فاز غالب از سیستم فازی  $Ag-Sn$  در ذرات پودر فاز  $Cu_3Sn$  و فاز غالب در آلیاز ملقمه شده  $Cu_6Sn_5$  میباشد [ ۳۵ ]. به طور خلاصه مکانیسم ملقمه سازی آمالگامها بدین صورت است که : در هنگام اختلاط ، جیوه به ذرات اولیه آلیاز نفوذ کرده و در واکنش با ذرات  $Ag-Sn$  فاز  $Ag-Hg$  را تشکیل می دهد [ ۴ و ۳ ]. ولی بدلیل کمتر بودن حلالیت جیوه در مس نسبت به نقره و قلع ، مس با جیوه تشکیل ملقمه نمیدهد [ ۱۵ ]. شکلهای ۲۱-۲۴ فازهای موجود در آمالگامها را نشان میدهد: شکل ۳ نشان می دهد که در داخل ذرات اولیه واکنش نکرده [ آمالگام Solilanova ] ، فاز ۲۱ تشکیل شده است. بنظر میرسد که در هنگام ملقمه سازی ، جیوه به عمق ذرات کوچکتر آمالگام [ بدلیل دامنه نفوذی کوتاهتر ] نفوذ می کند و این ذرات با جیوه واکنش داده و فاز  $Ag-Hg$  را تشکیل میدهد و فاز  $Cu-Sn$  از ذرات اولیه واکنش نکرده را پس میزنند. اما ذرات بزرگتر پودر به دلیل دامنه نفوذ طولانیتر زمان بیشتری برای تشکیل فاز ۲۱ لازم دارد و به همین دلیل مقداری از این ذرات بصورت واکنش نکرده [ فازهای  $Cu-Sn$  و  $Ag-Sn$  ] به شکل اولیه باقی میمانند [ ۳۶ ]، در واقع واکنش جیوه با این ذرات تنها به سطح آلیاز محدود میشود. از طرف دیگر تصاویر میکروسکوپی و نمودارهای آنالیز فازی نشان میدهد که این آمالگامها فاقد فاز  $\gamma$  میباشند . و این بدلیل مقدار زیاد مس در این آمالگامها ( بیشتر از ۱۰ % ) است . وجود این مقدار مس در آمالگام سبب میشود که در هنگام تشکیل فاز ۲۱ ، قلع آزاد شده از ذرات اصلی در نواحی مجاور فاز  $\gamma$  به صورت  $[Cu_3Sn]$  واکنش داده و فاز  $Cu_6Sn_5$  تشکیل شود. نقاط سیاه پیرامون ذرات اولیه در تصاویر میکروسکوپی نشان دهنده این فاز هستند. این واکنش فازی سبب حذف فاز  $\gamma$  میشود.



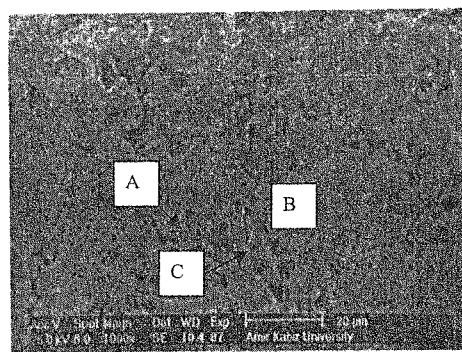
شکل(۳) : ریزساختار آمالگام Solilanova

Ag<sub>3</sub>Sn: فاز  $\gamma$ , B: فاز  $Cu_3Sn$ , C: فاز  $Cu_6Sn_5$



شکل(۲): ریزساختار آمالگام Cinalux

Ag-Hg: فاز  $\gamma$ , B: ذرات اولیه آلیاز, A: فاز  $Cu_6Sn_5$



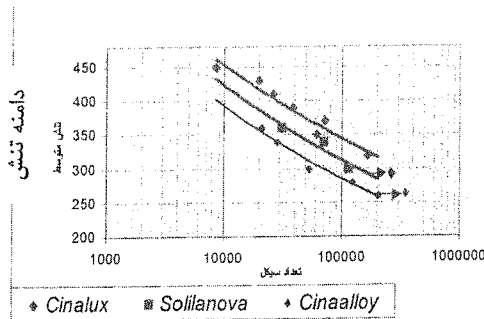
شکل(۴): ریز ساختار آمالگام Cinalloy

Cu<sub>7</sub>Sn: فاز A; Cu<sub>6</sub>Sn<sub>5</sub>: فاز B; Cu: فاز C

### ۳-۳ مقاومت خستگی آمالگامها

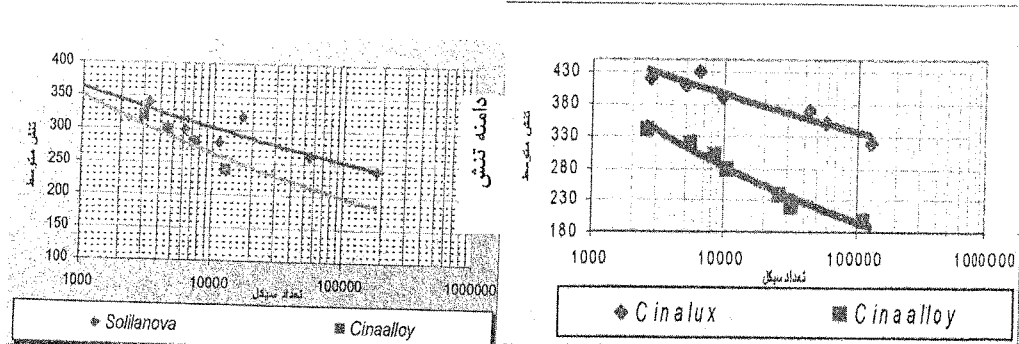
شکل ۵ مقایسه ای بین نتایج حاصل از آزمایش‌های خستگی در محیط‌های هوا و سرم فیزیولوژی در سه نوع آمالگام را نشان میدهد: مقاومت به خستگی آمالگام Cinalux (با مورفولوژی کروی) بیش از دو آمالگام با مورفولوژی تراشه ای بوده و مقاومت به خستگی آمالگام Solilanova نسبت به آمالگام Cinaalloy بیشتر است. دلیل این افزایش مقاومت را میتوان ناشی از شکل ذرات پودر، اندازه، ترکیب و مش بندی آنها دانست. اشکال ۶ تا ۸ نشان دهنده مورفولوژی ذرات پودر آمالگامها است که توسط میکروسکوپ الکترونی گرفته شده است. با مقایسه شکل ۷ با شکل ۸ مشاهده میشود که ذرات پودر در آمالگام Solilanova نسبت به Cinaalloy به طور منظمتری تراشیده شده اند و دارای دو اندازه مختلف می باشند. این نظم و دوگانگی ابعاد تراشه‌ها سبب میشود که در هنگام ملقمه سازی و پس از خودگیری کامل ملقمه، میزان حفره‌های سطحی در آمالگام Solilanova نسبت به Cinaalloy کمتر شود. در واقع میزان تخلخل و حفره‌های سطحی آمالگام ملاکی برای انتخاب نوع آلیاز می باشد. اشکال ۹ و ۱۰ میزان حفره‌های سطحی در آمالگامها Solilanova و Cinaalloy را نشان میدهد. با توجه به اینکه ترکهای خستگی در آمالگامها ابتدا از حفرات و سپس از فاز ۲۱ جوانه زنی میکنند [۳۹ و ۳۸]، بنابراین کاهش میزان حفره‌های سطحی سبب افزایش مقاومت به خستگی Solilanova نسبت به Cinaalloy میشود. از طرف دیگر مورفولوژی ذرات پودر Cinalux و توزیع ذرات آن به گونه‌ای است که این پودرها به دلیل شکل کروی خود، بعنوان فاز اصلی آمالگام (۲) از تمرکز تنش جلوگیری کرده و از طرف دیگر وجود ذرات ریز کوچکتر از  $m\mu$  ۳۷ سبب پرکردن فضای خالی بین پودرهای درشت‌تر شده و بنابراین میزان حفره‌های سطحی به طور وسیعی کاهش می‌باشد. در واقع میتوان نتیجه گیری کرد. که حضور همزمان فازهای کروی و کاهش حفره‌های سطحی سبب افزایش مقاومت خستگی آمالگام با مورفولوژی کروی نسبت به آمالگام با مورفولوژی تراشه ای میشود. شکل ۱۱ فازهای موجود در آمالگام Cinalux را نشان میدهد که فاز اصلی آن به شکل کروی در زمینه پخش است. در واقع بنظر می‌رسد در مورد پودرهای کروی نیز فقط یکسان بودن اندازه‌ها، جهت حصول به مقاومت حداقل کافی نمی‌باشد، بلکه پودرها باید دارای یک ترکیب مناسب مش بندی باشند، بصورتیکه بعد از اختلاط با جیوه و ملقمه سازی بصورت ساختاری فشرده<sup>۱</sup> در کنار یکدیگر قرار گیرند. همان گونه که قبل املاحظه شد در مورد پودرهای تراشه ای هم، تراش پودر باید به گونه‌ای باشد که فشرده ترین حالت را بهنگام مخلوط کردن و ملقمه سازی ایجاد نماید.

<sup>۱</sup>Closed packed



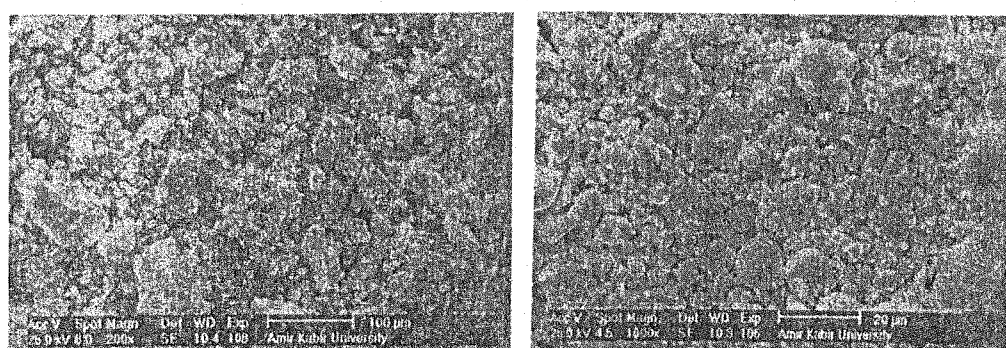
شکل(۵)-الف : مقایسه مقاومت خستگی آمالگامها در هواودر فرکانس ۲۰ هرتز

۱۵  
منهجه



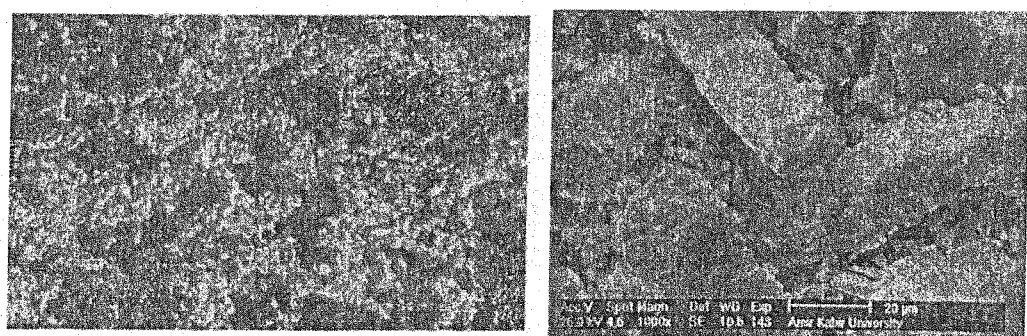
شکل(۵)-ج : مقایسه خستگی آمالگامهای Solilanova و Cinalux در سرم فیزیولوژی و در فرکانس ۲۰ هرتز Cinaalloy

شکل(۵)-ب : مقایسه خستگی آمالگامهای Cinalux و Cinaalloy



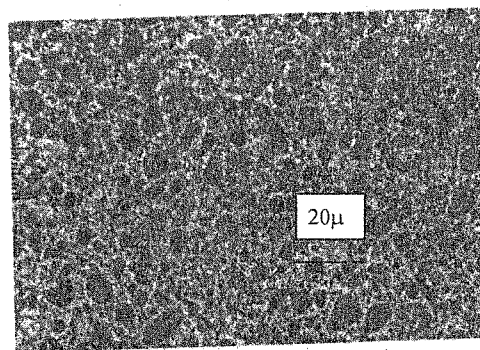
شکل(۷):مورفولوژی ذرات پودر Cinaalloy

شکل(۶):مورفولوژی ذرات پودر Cinalux

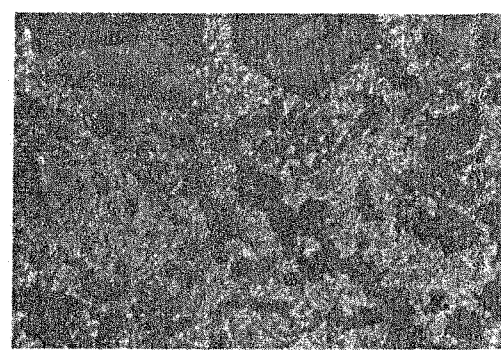


شکل(۹): حفره های موجود در آمالگام Cinaalloy

شکل(۸):مورفولوژی ذرات پودر a Solilanov



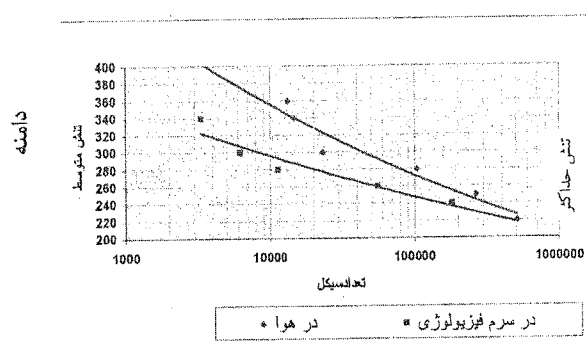
شکل(۱۱): حفره های موجود در آمالگام Cinaalloy



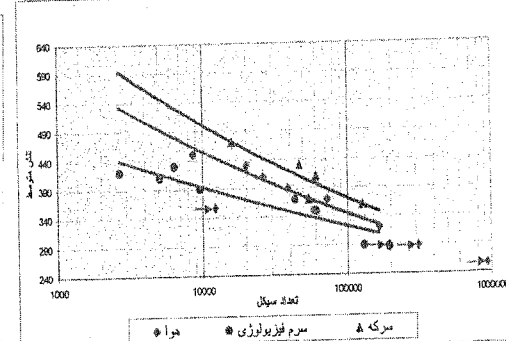
شکل(۱۰): حفرات موجود در آمالگام Solitanova

### ۳-۴ مقایسه خستگی آمالگامها در سرم فیزیولوژی

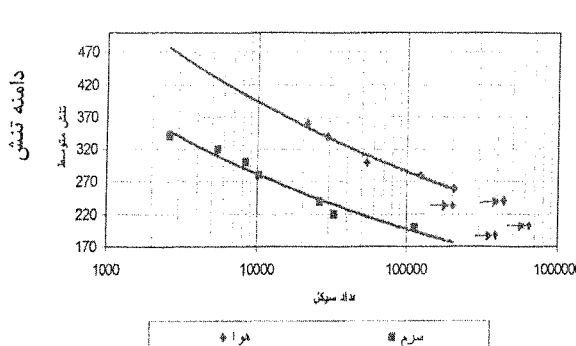
نتایج آزمایش‌های خستگی در سرم فیزیولوژی (شکلهای ۱۲ تا ۱۴) نشان میدهند که مقاومت خستگی هر سه نوع آمالگام در این محلول کاهش می‌یابد. همچنین رنگ آمالگام‌های درون سرم به سرعت تیره شدند. محلولهای سرم فیزیولوژی که نمونه‌های آمالگام در آنها تحت تنش بوده اند، قبل و بعد از شکست آمالگام دچار کدورت شد، این کدورت که بوضوح با چشم غیر مسلح قابل مشاهده بود در اثر ذرات معلق در محلول ایجاد شده بود. برای شناسایی نوع رسوبات موجود در محلول، دو نمونه آمالگام Cinalux با دو تنیش متفاوت، در محلول سرم فیزیولوژی تحت بارگذاری سیکلی قرار گرفتند، به محلول سرم کدر شده حاصل مقداری اسید کلریدریک غلیظ افزوده شد و مشاهده گردید که بعضی رسوبات حل شدند. با افزایش بیشتر اسید کلریدریک و گرم کردن محلول تمامی رسوبات حل شدند. این انحلال نشان میدهد که احتمالاً رسوبات موجود در محلول عبارتند از: کلرید جیوه، اکسید قلع و هیدروکسید مس [۴۰]. این محلول شفاف، آنالیز شیمیایی بروش جذب اتمی شد. همچنین نمونه‌ای دیگر از آمالگام Cinalux بدون اعمال تنیش، به مدت دو روز در محلول سرم فیزیولوژی قرار گرفت. این محلول نیز بعنوان شاهد آنالیز شیمیایی جذب اتمی شد. نتایج این آزمایش در جدول ۴ آمده است. این جدول نشان میدهد که میزان ورود قلع به محلول و خوردگی آن، نسبت به دو عنصر دیگر بیشتر است. این نیز در بررسی خوردگی آمالگام در محلول کلرید سدیم رقيق نشان داد که قسمت اصلی محصولات خوردگی را قلع تشکیل میدهد [۴۱].



شکل(۱۳): مقایسه خستگی آمالگام Solitanova در دو محیط هوای سرم فیزیولوژی و در فرکانس ۱۰ هرتز



شکل(۱۲): مقایسه خستگی آمالگام Cinalux در سه محیط هوای سرم فیزیولوژی و سرمه، در فرکانس ۱۰ هرتز



شکل(۱۴): مقایسه خستگی آمالگام Cinalux در دو محیط هوا و سرم فیزیولوژی و در فرکанс ۲۰ هرتز

بنظر میرسد اتصال ضعیف Sn-Hg در سیستم فازی  $\gamma$ -Ag<sub>22</sub>Sn<sub>27</sub>Hg با فرمول  $\gamma$ -Ag-Cu-Sn-Hg دارای عامل جدایش قلع باشد، چرا که خوردگی فاز  $\gamma$  تابعی ازا اتصال آن به سطح است. همچنین نتایج آنالیز فوق نشان داد که با افزایش تنش اعمالی میزان ورود اتم های Ag و Cu به محلول بیشتر میشود، از طرفی بدون حضور تنش، ورود عناصر فوق به محلول کمتر از حد استاندارد دستگاه و تقریباً صفر بود. Reese و همکارانش نیز نشان دادند که خوردگی آمالگام در غیاب نیروهای مکانیکی ۱۴ ماه بعد از ترمیم در دهان اتفاق می افتد [۴۲]. از طرف دیگر با افزایش تنش، جوانه زنی ترک زودتر آغاز میشود. با شروع جوانه زنی ترک از حفرات و فاز ضعیف (به لحاظ مکانیکی و شیمیایی) [۴۳]، واکنش نقره، مس و قلع با یونهای Cl<sup>-</sup> و OH<sup>+</sup> موجود در محلول شروع میشود و در نتیجه رسوبات AgCl و CuCl<sub>2</sub> و SnO<sub>2</sub> تشکیل میشوند. تضعیف باند های اتمی در فاز  $\gamma$  توسط بارگذاری سیکلی و واکنش اجزاء تشکیل دهنده آمالگام با یونهای موجود در محلول، بطور همزمان سبب کاهش مقاومت به خستگی آمالگام در سرم فیزیولوژی میشود.

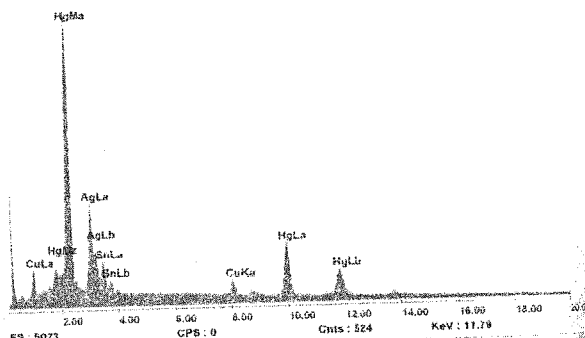
جدول (۴): نتایج آنالیز جذب اتمی بر روی سرم فیزیولوژی

میزان عناصر موجود (ppm)			میزان تنش (Mpa)
Sn	Cu	Ag	
۱۸/۷	۴/۴	۲/۳	۲۰
۲۵	۱۵/۹	۷/۱	۳۲
<<	<<	*<<	.

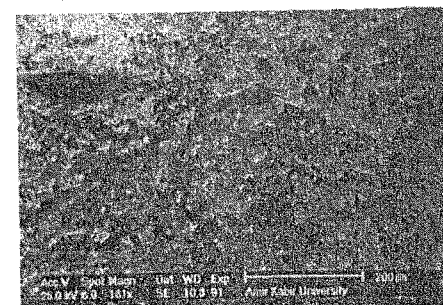
\* کمتر از حد استاندارد دستگاه. این حد برای نقره = ۰/۰۰۳٪.  
قلع = ۰/۰۵٪ و مس = ۰/۰۴٪ میباشد

شکل ۱۵ نشانه‌های SEM از یک نمونه آمالگام Cinalux است که در محلول سرم فیزیولوژی تحت تنش سیکلی بوده و قبل از شکست، آنالیز EDS و SEM بر روی آن انجام گرفت. شکل ۱۶ آنالیز EDS منطقه کنده شده [منطقه ای که ترک از آن جوانه زنی کرده] را نشان میدهد. این نمودار تأییدی بر این نظریه است که قبل از وقوع شکست، ذراتی از سیستم فازی Ag-Hg، واقع در نزدیکی سطح کنده شده و به صورت محل های مرجح برای جوانه زنی عمل مینماید. در واقع در آمالگام با مس کم، ترک ابتدا از فاز  $\gamma$  جوانه زنند، ولی در آمالگام با مس زیاد در غیاب فاز  $\gamma$ ، ابتدا فاز  $\gamma$  و سپس  $\alpha$  و  $\beta$  خورده میشوند [۴۴]. محصولات خوردگی عبارتند از Hg<sub>2</sub>Cl<sub>2</sub> و AgCl و CuCl<sub>2</sub> و SnO<sub>2</sub> و  $\gamma$ -Hg<sub>2</sub>O<sub>4</sub> و  $\gamma$ -Hg<sub>2</sub>O<sub>5</sub>. در حقیقت سطح آمالگام، تحت تنش سیکلی در سرم فیزیولوژی دچار نوعی سایش میشود (Erosion) و میتوان فرض نمود که مکانیزم خوردگی در سرم فیزیولوژی از نوع نفوذ عمیقی از ترکها به مارجین و شیارهای حفره دندانی بوده و یک تغییر ساختاری بصورت رشد و نفوذ ترک در مارجین و جوانه زنی ترکهای سطحی در آمالگام قابل مشاهده است [۴۸]. همچنین این مشاهدات تأییدی بر این مطلب است که آمالگامهای درون سرم فیزیولوژی، قبل از شکست کامل تحت بار سیکلی فشاری - فشاری، ابتدا دچار شکست مارجین شده اند [شکل ۱۷] و این بدان علت است که مارجین آمالگام در مقابل فشار ضعیف عمل میکند [۴۹]. در واقع جوانه زنی ترکهای خوردگی در نواحی مارجین اتفاق افتاده و با سرعتی وابسته به

فرکانس و دامنه تنشهای وارد رشد میکنند. از طرف دیگر شکست مارجین آمالگام بستگی به رفتار خزشی آن دارد. بنابراین بنظر میرسد که با کاهش کرنش خزشی در آمالگامها میزان شکست مارجین نیز کاهش یابد



شکل (۱۶): آنالیز EDS از فازهای سطحی کنده شده



شکل (۱۵): سطح آمالگام Cinalux که درون سرم فیزیولوژی

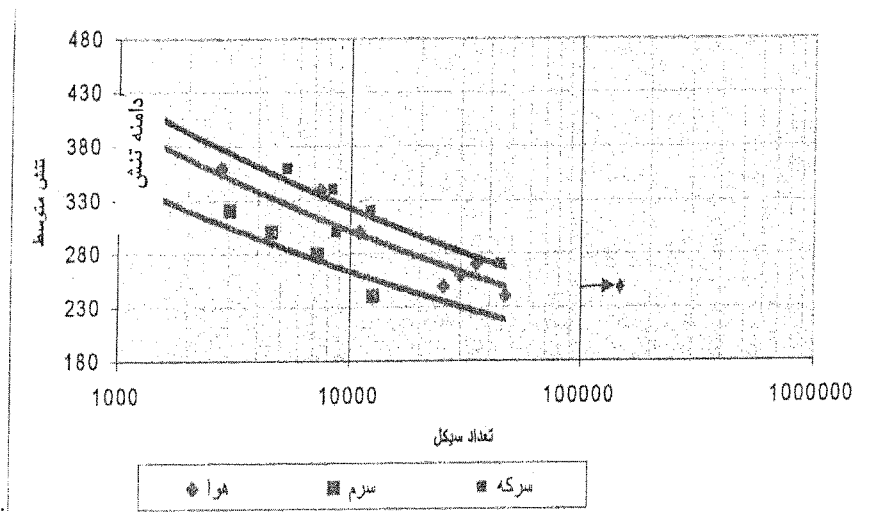


شکل (۱۷): مقطع شکست مارجینال آمالگام

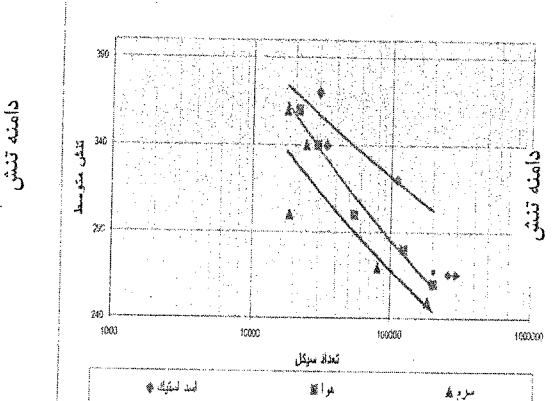
### ۳-۵ مقایسه رفتار خستگی آمالگامها در محیط سرکه

شکلهای ۱۲ و ۱۸ نشان میدهدند که مقاومت خستگی آمالگام در سرکه افزایش مییابد. برای اطمینان از نتایج آزمایش و چگونگی اثر سرکه بر آمالگام، آزمایش خستگی در محلول اسید استیک ۳٪ برای آمالگام Cinalux و Cinaalloy تکرار شد. شکلهای ۱۹ و ۲۰ مقایسه‌ای بین منحنی‌های خستگی این آمالگامها در هوا، سرم فیزیولوژی و اسید استیک را نشان میدهد. ملاحظه می‌شود که مقاومت خستگی در اسید استیک افزایش می‌یابد. با مقایسه شکل ۱۵ با شکل ۲۱ مشاهده می‌شود که زبری سطحی آمالگام تحت تنش سیکلی در هوا و سرم فیزیولوژی صافتر شده و ترکهای سطحی آن از بین رفته است(شکل ۲۲). جدول ۵ نیز تأییدی است بر این که اسید استیک چه در غیاب تنش سیکلی و چه در حضور آن سبب خوردگی سطحی آمالگام شده است. منتها مقدار این خوردگی در معرض تنش سیکلی بیش از هنگامی است که نمونه بدون تنش در محلول اسید استیک قرار گرفته است. در واقع چون در این محلول خوردگی سطحی رخ داده و ترکهای ریز سطحی در اثر حضور اسید استیک از بین رفته است، بنابراین جوانه زنی ترک خستگی به تعویق افتاده و در نتیجه مقاومت به خستگی نمونه مزبور افزایش می‌یابد. بعارت دیگر بنظر میرسد مکانیزم خوردگی آمالگام در اسید استیک، از نوع خوردگی لایه سطحی [ فقط یک تغییر شیمیایی در سطح ] بوده که در نتیجه آن ترکهای سطحی از بین می‌روند. در واقع اثر اسید استیک بر نمونه به منزله نوعی عملیات سطحی بشمار می‌آید که به واسطه آن سطح آمالگام پولیش شده و این سطوح صاف و

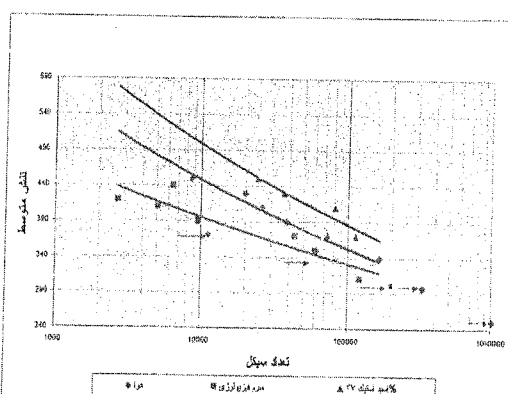
پولیش شده مقاومت به خوردگی بالاتری از خود نشان میدهد [۵۰]. بنابراین عمر خستگی افزایش می‌باید. این عملیات را می‌توان مشابه فرایند اسید شویی آمالگام بمنظور انجام عملیات پایانی و پولیش نهایی آن، در هنگام ترمیم دندان دانست. این موضوع بر لزوم انجام صحیح عملیات نهایی ترمیم [پولیش و براق کردن]، برای افزایش مقاومت آمالگام تأکید می‌کند.



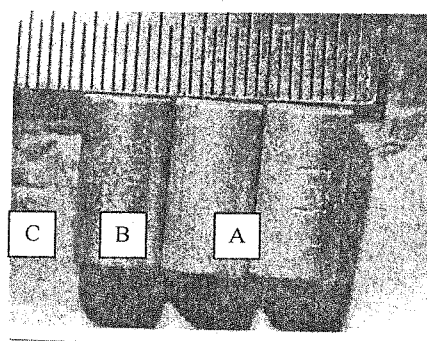
شکل(۱۸): مقایسه خستگی آمالگام Cinaalloy در سه محیط هوا، سرم فیزیولوژی و سرکه، ۵ رفرکانس ۱۰ هرتز



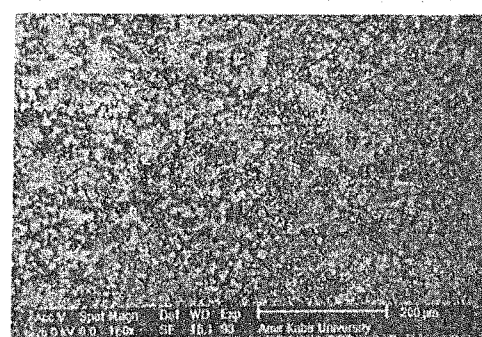
شکل(۲۰): مقایسه خستگی آمالگام Cinaalloy در هوا و سرم و اسید استیک



شکل(۱۹): مقایسه مقاومت خستگی Cinalux در هوا، سرم و اسید استیک



شکل(۲۲): سطوح آمالگامها در: A- سرم ، B- هوا و C- اسید استیک درون اسید به طور یکنواخت خورده شده است



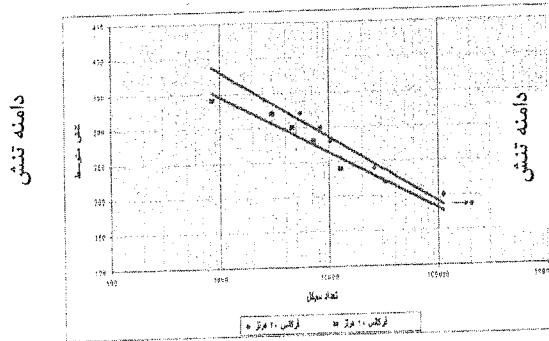
شکل(۲۱): سطح آمالگام درون اسید استیک : این آمالگام

#### جدول (۵): نتایج آنالیز جذب اتمی بر روی اسید استیک

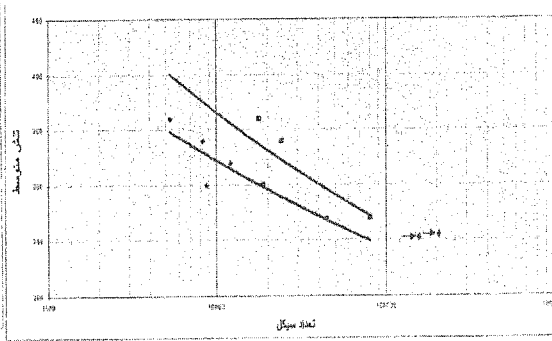
میزان عناصر موجود (ppm)			میزان تنش (Mpa)
Sn	Cu	Ag	
۱۸/۷	۴/۴	۲/۳	بدون اعمال تنش
۲۵	۱۵/۹	۷/۱	با اعمال تنش

#### ۳-۶ تأثیر فرکانس بارگذاری بر روی مقاومت خستگی آمالگامها

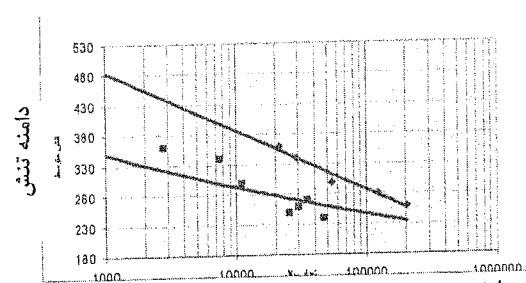
شكلهای ۲۳ تا ۲۵ نشان میدهدند که با افزایش فرکانس ، مقاومت به خستگی آمالگام افزایش می یابد . دلیل این موضوع را میتوان در زمان تماس نمونه های مورد آزمایش با محیط اکسیدی دانست . با افزایش فرکانس ، زمان تماس نمونه ها با اکسیژن هوا و یون کلر موجود در سرم فیزیولوژی کاهش یافته و مقاومت خستگی افزایش می یابد . نتایج کارهای قبلی نیز نشان داده اند که خوردگی در افزایش سرعت شکست خستگی نقش مؤثر داشته و آن را تشدید میکند . از طرف دیگر آسیب خوردگی با افزایش زمان تماس قطعه با محیط خورنده به طور خطی افزایش می یابد [۵۱و۵۲] .



شکل(۲۴): مقاومت خستگی آمالگام Cinaalloy در سرمه  
در سرم و در دو فرکانس ۱۰ و ۲۰ هرتز



شکل(۲۳): مقاومت خستگی آمالگام Cinaalloy در سرمه  
و در دو فرکانس ۱۰ و ۲۰ هرتز

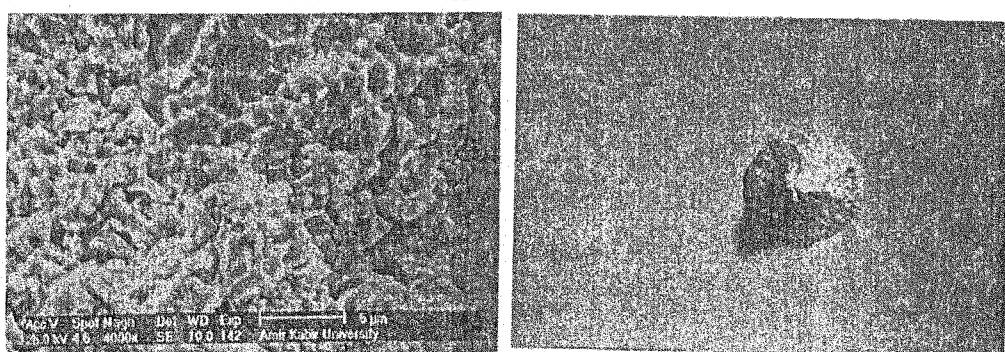


شکل(۲۵): مقاومت خستگی آمالگام Cinaalloy در هوا و در  
دو فرکانس ۱۰ و ۲۰ هرتز

#### ۳-۷ بررسی مقطع شکست آمالگامها

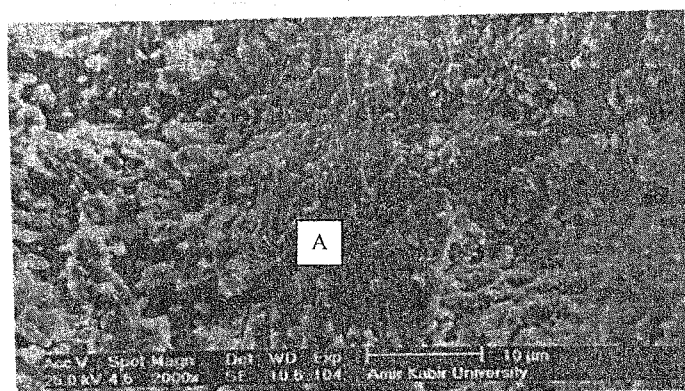
نتایج مطالعات مقاطع شکست آمالگام های تحت تنش سیکلی ، نشان میدهد که غالبا سطح شکست با محور نیرو زاویه ۴۵ میسازد که مشخصه شکست ترد آمالگام است [شکل ۲۶] . در واقع آمالگام در بارگذاری خستگی رفتار ترد نشان میدهد

[۵۲]. از طرف دیگر مطالعات شکست نگاری توسط میکروسکوپ الکترونی نشان میدهد که شکست آمالگام غالباً از نوع مرزدانه ای بوده و جوانه زنی ترک در آمالگام ابتدا از حفرات و فاز ضعیف ۲ و در غیاب آن ها از مرز دانه های ۲ شروع می شود. در واقع بنظر میرسد که وجود حفرات در مرز ذرات پودر اولیه که بعد از ملقمه سازی تبدیل به فاز ۱ می شوند، می توانند محل مناسبی جهت جوانه زنی ترک باشند. علی الخصوص که بعضی از فضاهای خالی به اندازه کافی بزرگ می باشند تا مقدار مؤلفه تنش برushi سیکلی به حد آستانه ای رشد ترک در شرایط فشاری - فشاری برسد. از طرف دیگر نوع شکست بستگی به فرکانس بارگذاری دارد، بطوريکه فرکانس پایین شکست مرزدانه ای ايجاد ميکند. با توجه به مشاهده الگوهای متفاوت رشد ترک خستگی در سطح نمونه های شکسته شده بنظر میرسد، مکانیزم رشد ترک در فازهای  $Cu_2Sn$  ،  $Cu_1$  ،  $Cu_2$  متفاوت باشد. همانگونه که در تصاویر ۲۷ و ۲۸ مشاهده میشود، مکانیزم شکست فاز ۱ بعلت وجود حفرات بین ذرات پودر اولیه از نوع مرزدانه ای است. در واقع فضاهای بین ذرات مسیر مناسب جهت رشد ترک خستگی را فراهم نموده اند. همچنان بنظر میرسد مکانیزم رشد در فاز  $-Sn$   $Cu$  از نوع درون دانه ای باشد. نکته جالب اينکه در سطح اين فاز خطوط موازی موazi يكديگر مشاهده میشوند [ نقاط A در شکل ۲۸ ] که شباهت به خطوط مواج (Striation) دارند. البته به نظر نمی رسد که مکانیزم تشکیل چنین خطوطی به مانند مکانیزم تشکیل خطوط مواج تحت بارگذاری سیکلی کششی باشد [۵۷] و بيشتر شباهت ظاهری با خطوط مواج تشکیل شده در مواد ترد علی الخصوص در محیط خورنده دارند [۵۸و۵۹]. Suresh نيز وجود چنین خطوطی را در حالت خستگی فشاری - فشاری مشاهده نموده است. در هر صورت بهنگام حضور تنشهای کششی، پدیده بازشوندگی نوک ترک و تعییر فرم پلاستیک در گوشه های بالای و پایینی ترک عامل ايجاد خطوط مواج بر سطح شکست هستند [۶۰]. اما در شرایط خستگی فشاری در مواد دارای محدودیت در تعییر شکل پلاستیک، بنظر میرسد که مکانیزمهاي برشی عامل ايجاد خطوط مواج به علت توقفهای لحظه ای نوک ترک بعد از رشد ترک در هر سیکل بارگذاري باشند. البته با توجه به مکانیزمهاي ارائه شده در اين دو مكتب فكري، عامل رشد ترک خستگی مؤلفه کششی تنش سیکلی می باشد. اما در شرایط بارگذاري فشاری - فشاری، رشد ترک تحت تنشهای فشاری توسيع مؤلفه تنش برشی انجام ميگيرد. لذا هيچگونه بازشوندگی نوک ترک اتفاق نمی افتد و دو لبه بالاي و پایينی ترک در حالت لغزشی در دو جهة مختلف هم و بطور نوسانی، مشابه يكديگر قرار دارند. در هر صورت بنظر میرسد حفره های موجود در مرز ذرات پودر اولیه پودر باعث تسریع رشد ترک خستگی می گردد.



شکل (۲۷): شکست مرز دانه ای در آمالگام solilanova در سرم فیزیولوژی این نمونه بعداز ۱۸۰۰۰ سیکل شکسته است

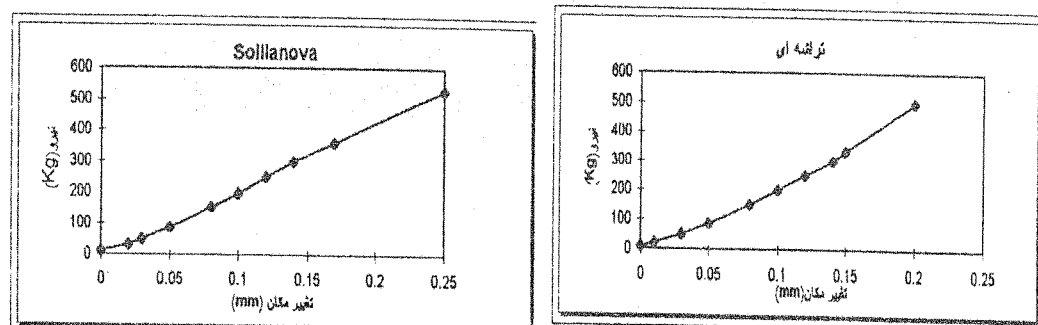
شکل (۲۶): مقطع شکست آمالگامها



شکل(۲۸): شکست درون دانه ای در فاز Cu-Sn و خطوط شبیه مواج در آمالگام Solilanova (منطقه A)

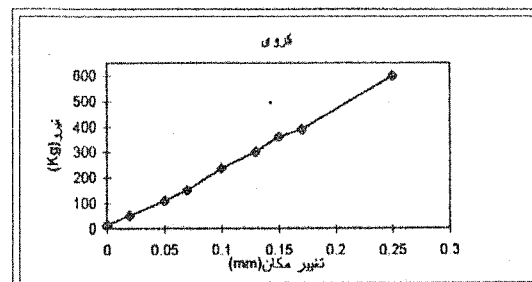
### ۳- شبیه سازی عمر خستگی پرکردگی دندان

شکلهای ۲۹ تا ۳۳ منحنیهای تغییر مکان - نیرو در آمالگامها را نشان می دهد که توسط آنها تنفس تسليم و مدول یانگ آمالگامها بدست آمد. این نتایج ثوابت لازم برای تحلیل تنشی دندان را ارائه می دهند که در جدول ۶ آمده است. شکلهای ۳۲ و ۳۴ نمونهای از منحنیهای لگاریتمی تنش - سیکل برای بدست آوردن ضرایب باسکویین از آن ها استفاده شده است را نشان می دهد. جدول ۷ ثوابت خستگی بدست آمده را نشان می دهد.



شکل(۳۰): منحنی تغییر مکان - نیرو برای آمالگام Solilanova

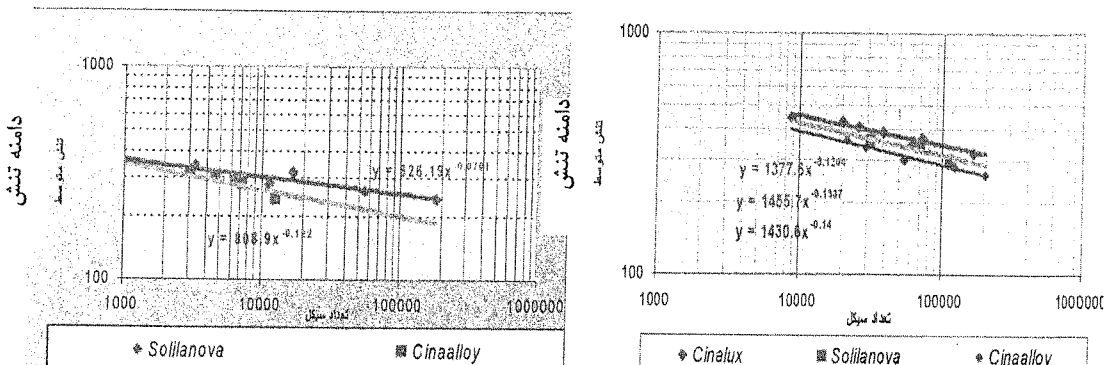
شکل(۲۹): منحنی تغییر مکان - نیرو برای آمالگام Cinaalloy



شکل(۳۱): منحنی تغییر مکان - نیرو برای آمالگام Cinalux

جدول(۶): مشخصات لازم برای تحلیل تنشی دندان

نام آمالگام	مدول یانگ (Gpa)	ضریب پواسن	استحکام شکست (Mpa)
Solilanova	۱۵/۷۶	۰/۳	۵۲۳
Cinaalloy	۱۵/۶	۰/۳	۵۰۳
Cinalux	۱۵/۹۸	۰/۳	۶۰۰
دندان	۳۴/۵	۰/۳۲	--



شکل(۳۲): منحنی لگاریتم تنش بر حسب لگاریتم تعداد سیکل (در محیط سرم فیزیولوژی) (در محیط هوای)

جدول(۷): ضرایب باسکوئین برای تحلیل عمر خستگی ترمیم

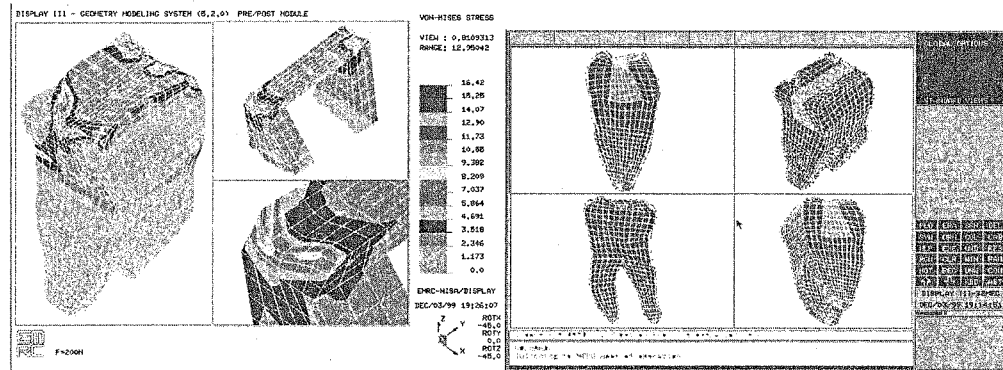
نوع محیط و فرکانس (HZ)				نام آمالگام
(f=۲۰)	(f=۲۰)	(f=۱۰)	(f=۲۰)	
سرمه	سرم	سرم	هوای	Solilanova
-۰/۱۴۲۸	-۰/۱۵۹۸	-۰/۰۷۹۱	-۰/۱۳۳۴	Cinaalloy
-۰/۱۳۰۲	-۰/۰۶۹۹	-۰/۱۲۲	-۰/۱۴	Cinalux
			-۰/۱۲۰۴	

در این تحقیق فرض شده است که با تقریب خوبی میتوان از رابطه باسکوئین در شرایط بارگذاری فشاری-فشاری استفاده نمود .  
شکل ۳۴ شبیه سازی ترمیم کلاس II double box را نشان مدهد.

شکلهای ۳۵ تا ۳۷ تحلیل تنشی استاتیکی ترمیمهای کلاس I و II double box را تحت دو نیروی ۴۰۰ و ۲۰۰ نیوتون نشان میدهدن . چگونگی توزیع تنش در قسمتهای مختلف دندان و ترمیم ، نشان میدهد که ترک ابتدا در مارجین آمالگام جوانه زنی میکند . همچنین در گوشه های تیز ترمیم تمرکز تنش بیشتری وجود دارد و این خود نشان میدهد که در ترمیم بایستی از گوشه های تیز اجتناب نمود . از طرف دیگر با مقایسه توزیع تنشها در نیروهای ۲۰۰ و ۴۰۰ نیوتون ، نتیجه میشود که با کاهش نیروی واردہ بر سطح دندان [وترمیم] تمرکز تنش کاهش یافته و احتمال شکست آمالگام نیز کم میشود . همچنین توزیع مولفه تنشها در ترمیمهای فوق نشان میدهد که احتمال شکست در ترمیمهای شامل سطوح اکلوسال دندان [سطح جونده ] ، نسبت به ترمیمهای دیگر کمتر می باشد . بنابراین حالت ایمن برای استفاده از آمالگام ، استفاده از ترمیمهای کلاس I و II می باشد .

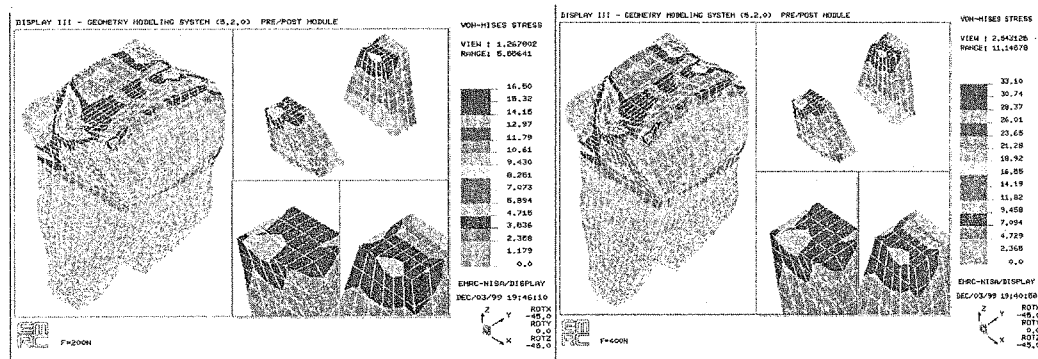
جداول ۸ تا ۱۰ عمر ترمیم به دست آمده به کمک شبیه سازی در شرایط بارگذاری واقعی [ N ۲۰۰ و ۴۰۰ ] با استفاده از نرم افزار NISA را نشان میدهدن . با مقایسه این جداول با نمودارهای بدست آمده از شرایط آزمایشگاهی ، مشاهده میشود که اعداد

عمر بدست آمده با کمک روش المانهای محدود نتایج قبلی را تأیید میکنند. بطوریکه مقاومت خستگی ترمیمهای در سرم نسبت به هوا کاهش یافته و در سرکه افزایش می یابد. همچنین اعداد عمر بدست آمده نشان دهنده این موضوع هستند که عمر ترمیم کلاس I نسبت به ترمیمهای دیگر بیشتر است. از طرف دیگر در مقایسه با شرایط واقعی، بنظر میرسد که سهم خستگی در شکست آمالگام کمتر از عوامل دیگر است. و خستگی آمالگام به تنها ی سبب شکست زودرس آمالگام نمیشود. بطوریکه عواملی نظیر چگونگی کار دندانپزشک در عملیات نهایی ترمیم [ پولیش ]، خوردگی خود دندان [ که سبب نفوذ مواد خورنده از ترکهای حفره دندانی به ترمیم میشود ]، نوع آمالگام مصرفی از لحاظ مورفولوژی و ... در شکست آمالگام نقش موثرتری دارند.

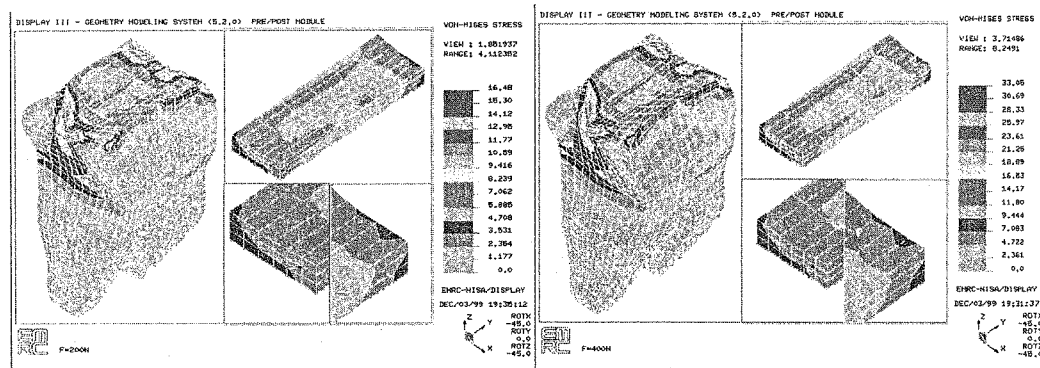


شکل (۳۵): تحلیل تنشی پرکردگی کلاس I

شکل (۳۴): نمای کلی پرکردگیهای کلاس II double box



شکل (۳۶): تحلیل تنشی پرکردگی کلاس I Single box تحت نیروهای فشاری ۲۰۰ و ۴۰۰ نیوتون



شکل (۳۷): تحلیل تنشی پرکردگی کلاس I و مقاطع دندان تحت نیروهای فشاری ۲۰۰ و ۴۰۰ نیوتون

جدول(۸): نتایج محاسبه عمر ترمیم کلاس I در نیروهای ۲۰۰ و ۴۰۰ نیوتون

نوع محیط و فرکانس (HZ)				نام آمالگام
(f=20) سرکه	(f=10) سرم	(f=20) سرم	(f=20) هوا	
۰.۶۹۹۵۹	۰.۵۶۴۵۷	۰.۱۳۹۲۵۷	۰.۱۱۸۶۸	Solilanova
۰.۱۸۵۶۱۸	۰.۳۳۸۶۹	۰.۳۳۸۶۹	۰.۲۲۵۶۱۰	
نوع محیط و فرکانس (HZ)				نام آمالگام
(f=20) سرکه	(f=10) سرم	(f=20) سرم	(f=20) هوا	
۰.۱۶۶۰۶۱۲	۰.۲۱۳۵۹	۰.۹۰۶۵۸	۰.۱۲۴۶۱۰	Solilanova
۰.۲۶۰۵۲۲	۰.۵۶۹۵۱۱	۰.۵۶۹۵۱۱	۰.۵۷۷۶۱۲	Cinaalloy
				Cinalux

جدول(۹): محاسبه عمر ترمیم کلاس II در نیروهای ۲۰۰ آنیوتون

نوع محیط و فرکانس (HZ)				نام آمالگام
(f=20) سرکه	(f=10) سرم	(f=20) سرم	(f=20) هوا	
۰.۴۲۲۵۷	۰.۵۸۹۵۸	۰.۲۸۱۵۸	۰.۱۴۸۵۸	Solilanova
۰.۲۴۹۶۱۴			۰.۲۸۲۵۷	
			۰.۱۲۷۶۸	

جدول(۱۰): محاسبه عمر ترمیم کلاس II Single box در نیروهای ۲۰۰ و ۴۰۰ نیوتن

نوع محیط و فرکانس (HZ)				نام آمالگام
(f=20) سرکه	(f=10) سرم	(f=20) سرم	(f=20) هوا	
۰.۳۹۷۵۹	۰.۷۶۵۵۷		۰.۴۳۸۶۸	Solilanova
۰.۶۹۴۶۱۷	۰.۹۰۴۵۴	۰.۷۱۸۵۷	۰.۱۰۶۸	
	۰.۱۹۹۵۹	۰.۱۹۹۵۹	۰.۱۲۷۶۱۰	
نوع محیط و فرکانس (HZ)				نام آمالگام
(f=20) سرکه	(f=10) سرم	(f=20) سرم	(f=20) هوا	
۰.۹۴۴۶۱۱	۰.۸۹۷۵۹	۰.۵۸۹۵۸	۰.۶۵۲۶۱۰	Solilanova
۰.۹۷۳۶۲۱		۰.۷۶۹۵۹	۰.۱۲۴۶۱۰	Cinaalloy
		۰.۳۳۵۶۱۱	۰.۳۲۵۶۱۲	Cinalux

## تقدیر و تشکر

نویسنده‌گان این مقاله بر خود لازم می‌دانند بدینوسیله مراتب سپاس و تشکر خود را از معاونت محترم دانشگاه صنعتی امیرکبیر به خاطر حمایت مالی از این طرح اعلام دارد.

## مراجع

- [1] Santos,A.C.andMeiers,J.C.OperativeDentistry 19:2-6;1994
- [2] Craig ,Robert.G.,et.al, TheC.V.Mosby Company ,1983.
- [3] Philips,Rolph W., W.B.Saunderss Company ,1973.
- [4] Townsend .R.B., Dent.MagForalTopics,58:249,1941.
- [5] Gray,A.W. Trans.Amer.Inst.Min .Engs,60:657;1919.

- [6]Gray ,A.W. Phys.Res;19:405;1922.
- [7]Gray ,A. W. J.Amer.Dent.Ass;9:324;1922.
- [8]Gray ,A. W. J.Inst.Met;29:139;1923.
- [9]Gray ,A. W. J.Am.dent.Ass;8:196;1921.
- [10]Ryge ,and Moffett,J.G. J.Dent .Res;152-167;April1953..
- [11]Ryge ,Gunnar.et.al., J.D.R.36(6):986-991,1959.
- [12]Innes ,D.B.K.and Youdlies,W.V., J.Can.Dent .Ass.29,587,1963.
- [13]Greener E.H.et.al., The Williams and Wilkiny Co.1972.
- [14]Mahler,David B.and Adey ,Jerome., J.Dent.Res ;921-925;1984.
- [15]Okabe,T.and Mitchell,et.al.,Part I;J.D.R.,57(7-8):759-767;1978.
- [16]Wirjosumarto,Harsono and Mateer , Richard S. , J.Dent.Res.;13-18,Feb1973.
- [17]Demaree,Neilc. And Taylor,DuaneF., J.D.R,41:890-906;1960.
- [18]Koran,Andrew.andAsger ,Kamal., J.A.D.A.75:912;1967.
- [19]Johnson,Lonard.N., J.D.R;51(3):789-794;1972.
- [20]Wilkinson,E. G.and Haack,D.c.,J.Dent.Res;37:136-143;1958.
- [21]Williams,P.T.and Cahoon,J.R; J.Dent.Res;68(7):1188-1193,july1989.
- [22]Bonill-E,S.Nwhite, Oper-Dent;21(3);122-126;May1996.
- [23]Fissore,Bruno.et.al, J Prosthes Dent;65:80-85;1991.
- [24]Hugaman,M.C.D.N.J.M.et.al, J.Dent.Res.71(5):1145-1149;May1994.
- [25]Xiulin et.al. Engineering Fracture Mechanics,V57n6,P:617-624;Aug1997.
- [26]Eliezer ,A. Corrosion Reviews V16n1-2 P:1-26;1998.
- [27]Delafosse,D.Magnin ,T.I , Solid State Phenomena V59-60;P:221-25;1998.
- [28]Zheng , Xiulinwang ,Rong Minerals Materials Soc(TMS);Warrendale,Pa,USA;P:247- 259;1997.
- [29]Edie ,Johnw .and Boyer , DaneilB. J.D.R.;57(2) :277-282;1978.
- [30]Crowell,Walter S.and Philips, Ralph W. J.Dent Res;845-853;1951.
- [31]Crowell ,Walter .S.. J.Dent .Res;592-596;October 1954.
- [32]Smith ,DentonI.,et.al. J.A.D.a.47:304-311,1953.
- [33]Jarabak , Joeph R.and Harbor ; Indiana , Part I ;J.A.D.A.,22:563-605;1942.
- [34]Fusayama , Takao.and Hayashi Kent .. J.D.R;49(4):733-741;1970.
- [35]Boyer , Dael B.et.al. Jornal of Oral Rehabilitation , 5:223-228;1978.
- [36]Sutfin ,L.V.and Ogilvie ,R.E.. J.Dent.Res:1159-1165;September -October 1970.
- [37]Sutow , E.G.et.al. J.Dent .Res;64(1) :62-66;January 1985.
- [38]Williams,P.T.and Hedge G.L.;J. Dent Res .64(3) :470-475;March 1985.
- [39]Philips , Ralph W.. J.Dent .Res .28(4) :348-354;August 1949.
- [41]Schoonver,Irl.et.al.. J.A.D.A;28:1278-1291;
- [42]Reese ,S.B.,Warfield,D.and Marek , M.. ADR Abst 62>No.180;1983.
- [43]Takatsu , Toshio . et . al .. J. Dent . Research .56(6):1077-1083;1977.
- [44]Guthrow , G. Earl , et .al.;Corrosion of Dental Amalgam and its Component Phases
- [45]Ravnholz. Scandinavian - Journal- of Dental - Research- DenmarkV94;370-376;1986.
- [46]Brune ,D. Scandinavian- Journal - of Dental - Research - Denmark,V89;506-514;1981.
- [47]Jensen ,S.J. Scandinavian - Journal - of Dental- Research - Denmark , V90;239-242;1982.
- [48]Malhotra , Manoharl . and Asgar Kamal.. J.D.R;56(12) 1481 -;1977.
- [49]Rodriguez , Mario S. and Dickson , George.. . Dent . Res41(4) :840-852 ;July -Agust 1962.
- [50]Mateer, Richard S . and Reitz, Clair D. J. Dent . Res.: 399-407,March- April 1970
- [51]Wie , Landes\ Mat.Res . Stand .ASTM,9,25;1962.
- [52]Klensil , Mirko, Fattigue Of Metallic Materials; 1992.
- [53]Asgar , Kamal and Sutfin, Lloyd.. J.Dent . Res.44(5):977-988;September- October1965.

- [54] Hertzberg, ASTM STP , 415,P.205;1967.
- [55]Forsyth , Ryder, Metallurgia 63,117:1961.
- [56] Jacoby .G. EXP. Mech.5(3).65;1965.
- [57] Laird, In ASTM Spec. pub,415,131;1967.
- [58]Pelloux R.W. Trans . Quart. ASM;62(1),281;1969
- [59] El- Soudani , Pelloux, Met Trans,4,519;1973.
- [60] Suresh,Fatigue of matherials Cambridge Solid State Science ,Cambridge University Press,Cambridge ,U.K.(1980)